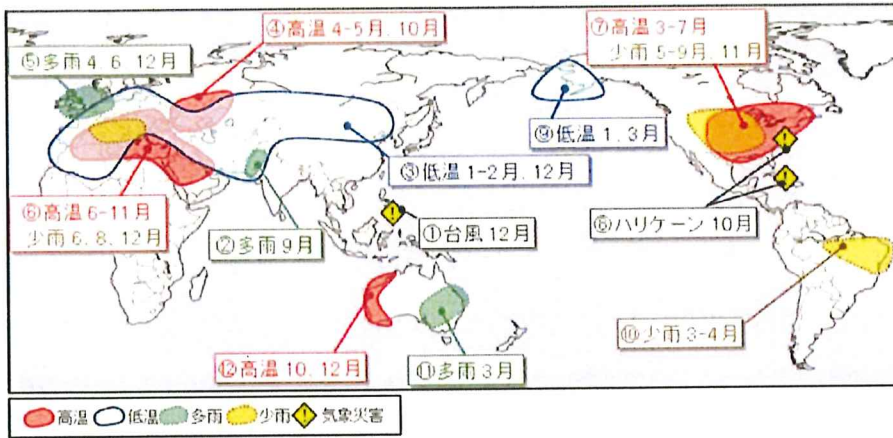


世界の年ごとの異常気象 ----- 対象期間： 2012年 ▼

世界の異常気象

- [解説ページ](#)
- [週ごとの異常気象](#)
- [月ごとの異常気象](#)
- [季節ごとの異常気象](#)
- [年ごとの異常気象](#)
- [異常気象図式一覧](#)
- [異常気象の事例](#)

主な天候の特徴・気象災害



関連図表【年】

異常気象図表

- [異常高温・低温出現頻度](#)
- [異常多雨・少雨出現頻度](#)

世界の天候図表

- [平均気温・降水量・日照時数](#)
- [降水日数](#)

概況

年平均気温は、シベリア北部、ヨーロッパ南東部、中東、米国、南米中部、オーストラリア南西部などで平年より高く、中国北東部～カザフスタン東部、アラスカなどで平年より低くなった。ロシア西部、ヨーロッパ南東部、アラビア半島、米国東部～中部、オーストラリア西部で異常高温となる月が多く、中国北部～カザフスタンとアラスカで異常低温となる月が多かった。

年降水量は、東シベリア～中国北部、東シナ海周辺、パキスタン、ヨーロッパ北部、アフリカ西部、オーストラリア東部などで平年より多く、アラビア半島、アフリカ北西部、米国中部～南部、ブラジル北東部、オーストラリア中部などで平年より少なかった。オーストラリア東部では異常多雨となる月が多く、ヨーロッパ南部、米国中部、ブラジル北東部は異常少雨となる月が多かった。

2012年に発生した主な異常気象・気象災害は以下のとおり。気象災害の記述は米国国際開発庁海外災害援助局とルーベンカトリック大学災害疫学研究所（ベルギー）の災害データベース（EM-DAT）や各国の政府機関の発表等に基づいている。

1	台風（12月）	フィリピン	<ul style="list-style-type: none"> ・ フィリピンではミンダナオ島を通過した台風第24号の影響により、1000人以上が死亡したと伝えられた。
2	多雨（9月）	パキスタン	<ul style="list-style-type: none"> ・ パキスタンでは8月下旬から9月前半にかけて大雨で、9月は異常多雨となった。 ・ パキスタンのジャコババード：9月の月降水量479mm（平年比3259%）。 ・ パキスタンでは8月下旬以降の大雨や洪水により570人以上が死亡したと伝えられた。
3	低温（1～2月、12月）	東アジア北部～アフリカ北西部	<ul style="list-style-type: none"> ・ 東アジア北部～アフリカ北西部では、勢力の強い高気圧の影響で寒気が入り、1～2月に異常低温となった。また、12月にも東アジア北部から中央アジアにかけて異常低温となった。 ・ 1～2月の寒波の影響でウクライナで130人以上、ポーランドで80人以上、ルーマニアで80人以上が死亡したと伝えられた。 ・ カザフスタンのアスタナ：2月の月平均気温-20.6℃（平年差-7.4℃）。 ・ ルーマニアのブカレスト：2月の月平均気温-6.5℃（平年差-7.1℃）。 ・ 中国チーリン（吉林）省のチャンチュン（長春）：12月の月平均気温-16.7℃（平年差-5.1℃）。
4	高温（4～5月、10月）	カザフスタン西部～ロシア西部	<ul style="list-style-type: none"> ・ カザフスタン西部からロシア西部では、4～5月と10月に異常高温となった。 ・ ロシア西部のアストラハニ：4～5月の2か月平均気温19.1℃（平年差+4.8℃）。
5	多雨（4月、6月、12月）	イギリス及びその周辺	<ul style="list-style-type: none"> ・ イギリスのカンボーン：4月の月降水量160mm（平年比216%）、6月の月降水量142mm（平年比247%）。 ・ フランスのカント：12月の月降水量164mm（平年比169%）。 ・ イギリスでは4月と6月の降水量が1910年の統計開始以降で、最も多かったと伝えられた。
6	高温（6～11月）・少雨（6月、8月、12月）	地中海周辺～アラビア半島	<ul style="list-style-type: none"> ・ 地中海周辺～アラビア半島で異常高温（6月～11月）、ヨーロッパ南部で異常少雨（6月、8月、12月）だった。 ・ トルコのアンタリヤ：6～11月の6か月平均気温25.7℃（平年差+2.1℃）。 ・ ブルガリアのソフィア：6月の月降水量8mm（平年比11%）。 ・ フランスのバステア：12月の月降水量10mm（平年比9%）。
7	高温（3～7月）・少雨（5～9月、11月）	米国東部～中部	<ul style="list-style-type: none"> ・ 米国東部～中部で異常高温（3月～7月）、米国中部で異常少雨（5月～9月、11月）となった。 ・ 米国ミズーリ州コロンビア：3月～7月の5か月平均気温21.2℃（平年差+4.1℃）。 ・ 米国ネブラスカ州ノースプラット：5～9月の5か月間降水量90mm（平年比27%）。 ・ 米国本土の3月及び7月の月平均気温が1895年以降で最も高くなったと伝えられた。 ・ 米国では、高温と少雨による大きな農業被害が伝えられた。
8	ハリケーン（10月）	米国東部・カリブ海諸国	<ul style="list-style-type: none"> ・ 米国東部では、ハリケーン「サンディ」の影響により120人以上が死亡したと伝えられた。またハイチなどカリブ海諸国で合わせて80名以上が死亡したと伝えられた。
9	低温（1月、3月）	アラスカ	<ul style="list-style-type: none"> ・ アラスカでは、平年より気温が低くなること多く、1月と3月は異常低温となった。 ・ 米国アラスカ州のコールトベイ：1月の月平均気温-7.6℃（平年差-5.6℃）、3月の月平均気温-6.5℃（平年差-5.5℃）。
10	少雨（3～4月）	ブラジル北東部	<ul style="list-style-type: none"> ・ ブラジルのパトス：3～4月の2か月降水量29mm（平年比9%）。

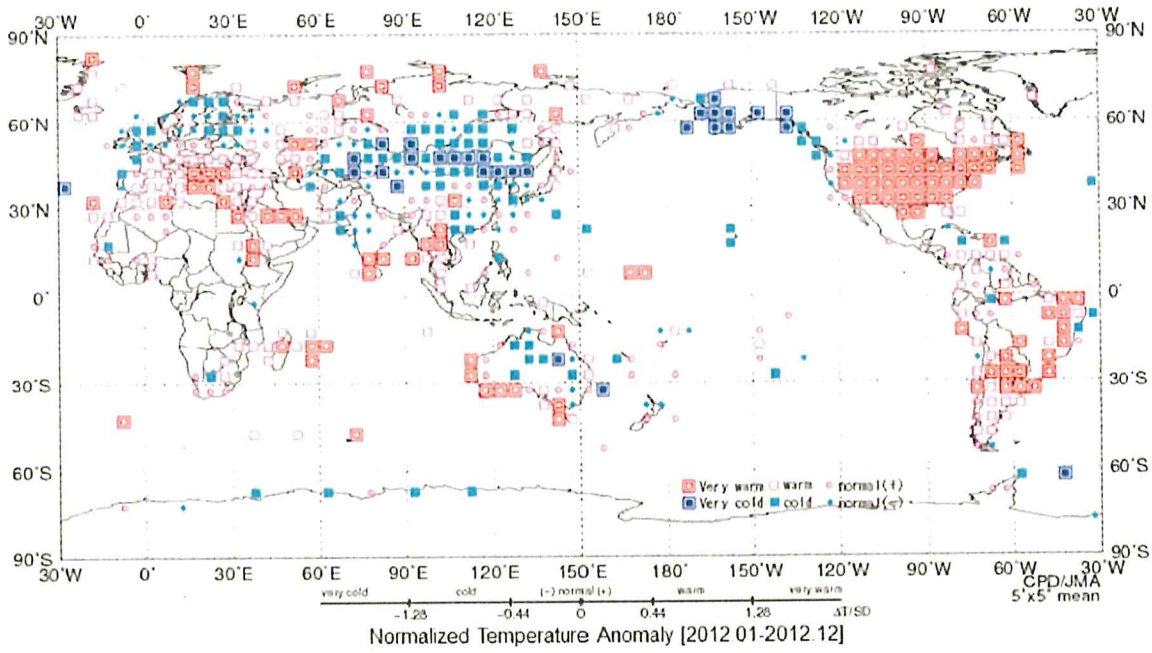
2020/5/10

11 多雨 (3月)	オーストラリア東部
12 高温 (10月、12月)	オーストラリア西部

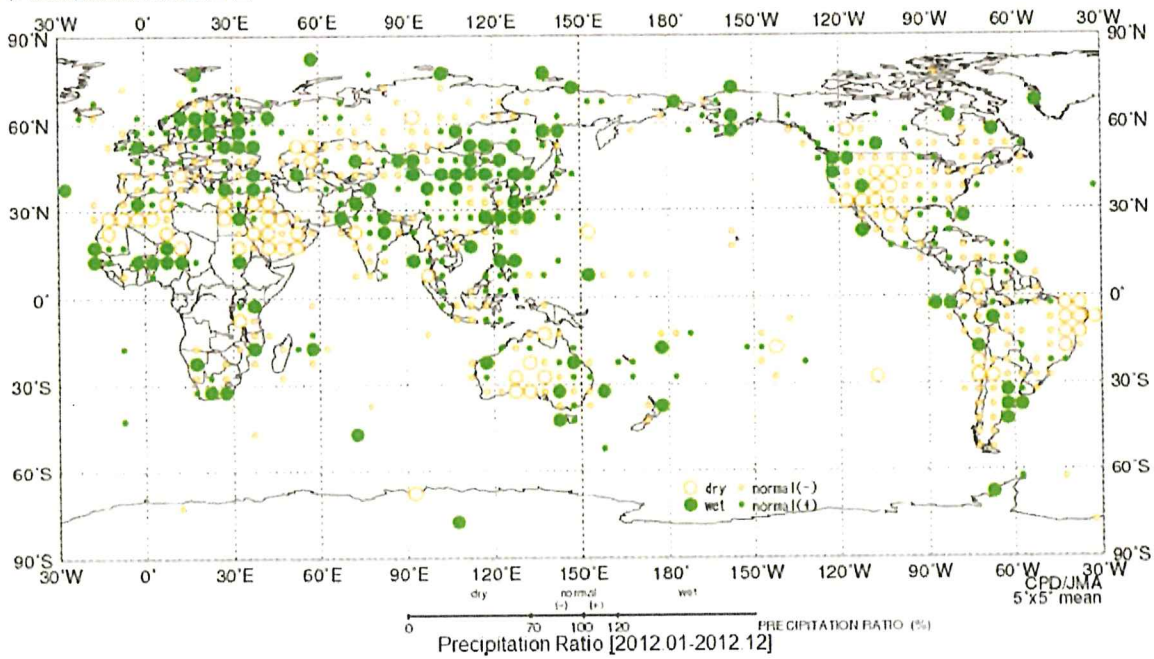
気象庁 | 世界の年ごとの異常気象

- オーストラリア東部では、1～3月にかけて平年よりも降水量が多く、3月は異常多雨となった。
- オーストラリア東部のウオガウエガ：3月の月降水量208mm（平年比437%）。
- オーストラリア西部では、10月と12月に異常高温となった。
- オーストラリア西部のジェラルトン：10月の月平均気温19.9℃（平年差+2.2℃）、12月の月平均気温25.3℃（平年差+2.8℃）。

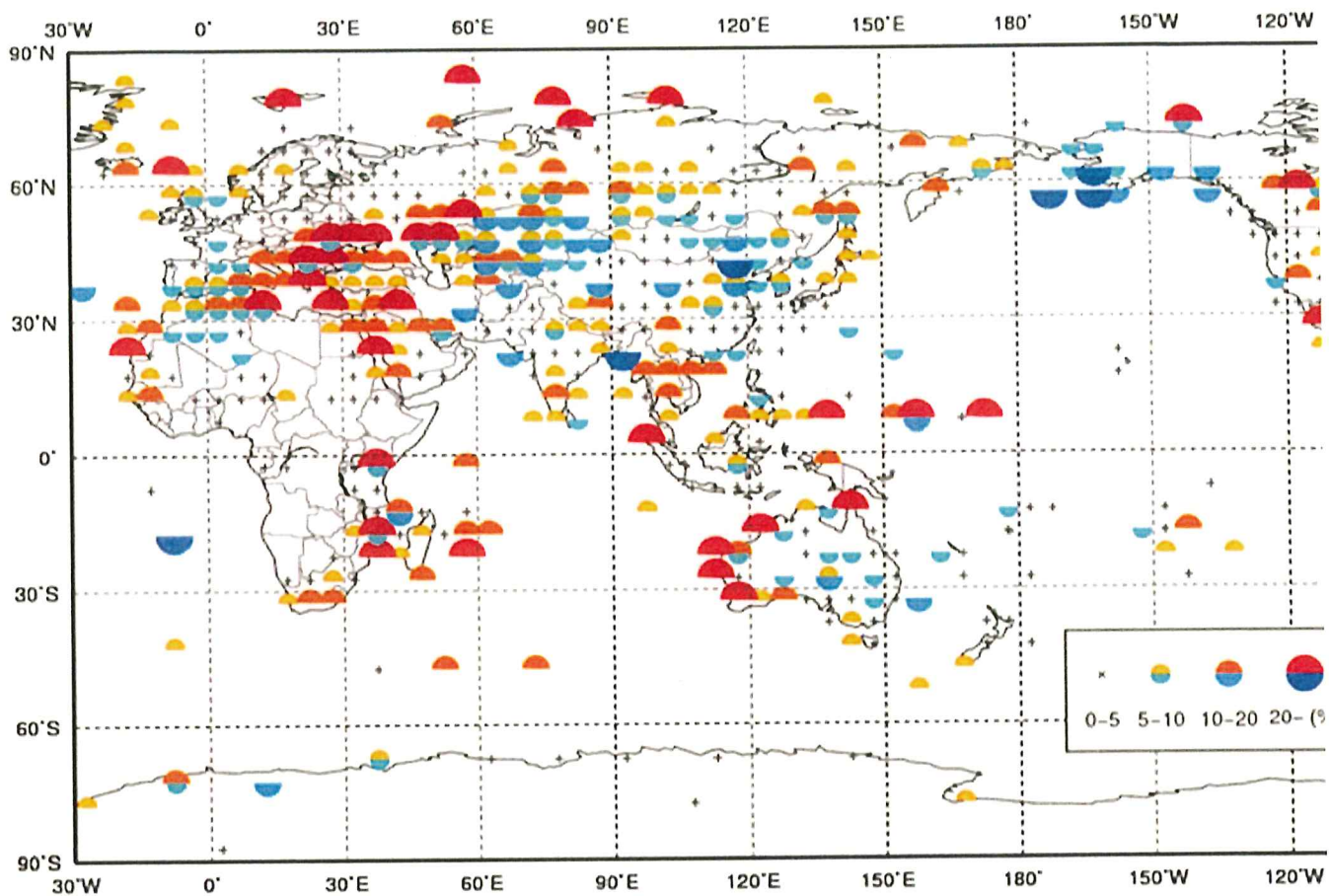
各種図表



年平均気温偏差規格化階級分布図

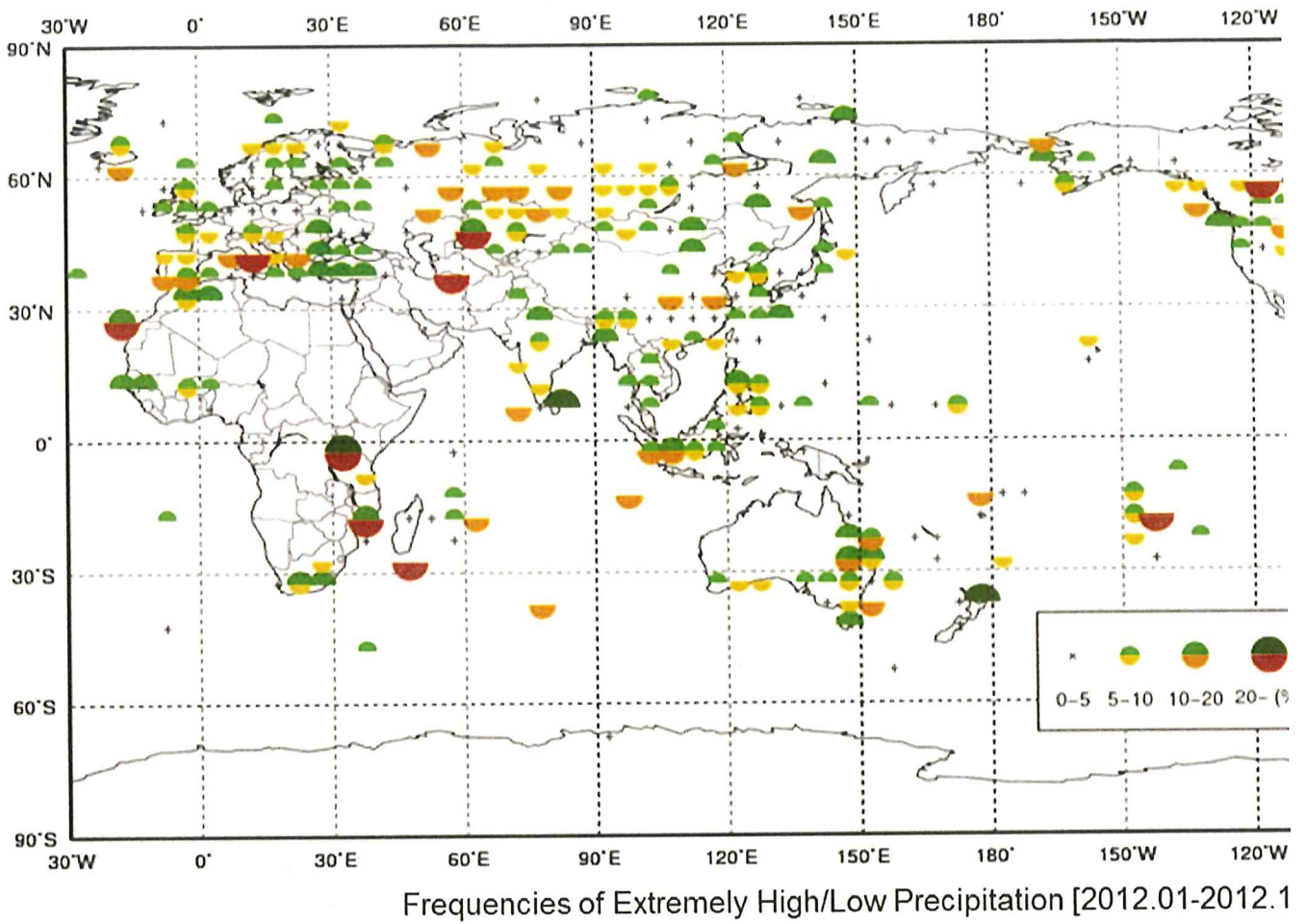


年降水量平年比階級分布図



Frequencies of Extremely High/Low Temperature [2012.01-2012.1

異常高温・異常低温出現頻度分布図



異常多雨・異常少雨出現頻度分布図